

(53) (53)

# ИЗВЕСТИЯ ВУЗОВ СССР РАДИОЭЛЕКТРОНИКА

ТОМ XXIII, № 7

ОТДЕЛЬНЫЙ ОТТИСК

КИЕВ — 1980

УДК 621.391.2

A. П. ТРИФОНОВ, С. А. ГАЛУН

## ТРЕБОВАНИЯ К ТОЧНОСТИ ТАКТОВОЙ СИНХРОНИЗАЦИИ ПРИ ИСПОЛЬЗОВАНИИ ШИМ

Рассмотрено влияние ошибок тактовой синхронизации на помехоустойчивость приема сигналов с широтно-импульсной модуляцией (ШИМ). Сформулированы требования к допустимой величине погрешности синхронизации, обеспечивающие достаточно высокую помехоустойчивость обработки сигналов с ШИМ.

Сигналы с широтно-импульсной модуляцией (ШИМ) находят широкое применение в радиоэлектронике [1—3] и др. В частности, системы связи, использующие ШИМ, обладают лучшей помехоустойчивостью, чем аналогичные системы, использующие амплитудно-импульсную модуляцию [1]. Оценка длительности импульсных сигналов, принимаемых на фоне помех, рассматривалась в [4, 5] и др. При этом, как правило, предполагалось, что временное положение сигнала с ШИМ известно точно. Однако в практических случаях время прихода сигнала обычно известно неточно, что не позволяет обеспечить потенциальную помехоустойчивость приема. Следя [6], будем полагать, что при неточно известном времени прихода сигнала с ШИМ в структуру измерителя длительности [4, 5] введен дополнительный канал тактовой синхронизации. Вследствие неизбежного наличия помех в канале синхронизации прием сигнала с ШИМ будет происходить с некоторой ошибкой по времени прихода сигнала. Рассмотрим, в какой степени ошибки синхронизации влияют на помехоустойчивость приема сигналов с ШИМ.

Итак, пусть в течение интервала времени  $[-T/2, T/2]$  наблюдается реализация смеси сигнала и шума

$$x(t) = s(t, \theta_0, \tau_0, \varphi_0) + n(t). \quad (1)$$

Здесь  $n(t)$  — реализация центрированного белого гауссовского шума с односторонней спектральной плотностью  $N_0$ . В выражении (1)  $s(t, \theta_0, \tau_0, \varphi_0) = af[(t - \tau_0)/\theta_0] \cos(\omega_0 t - \varphi_0)$  — радиоимпульс с амплитудой  $a$ , несущей частотой  $\omega_0$ , неизвестной начальной фазой  $\varphi_0$ . Причем огибающая  $f(t)$  нормирована так, что удовлетворяет условиям:

$$\max f(t) = 1, \quad \int_{-\infty}^{\infty} f^2(t) dt = 1. \quad (2)$$

Определим эквивалентную длительность  $\theta$  сигнала  $s(t)$  следующим образом [7]:

$$\theta \equiv \int_{-\infty}^{\infty} |s(t)|^2 dt / \max |s(t)|^2. \quad (3)$$

Тогда, в соответствии с (2) и (3), длительность огибающей полезного сигнала  $s(t, \theta_0, \tau_0, \varphi_0)$  равна  $\theta_0$ . Предполагается, что временное положение  $\tau_0$  полезного сигнала неизвестно и требуется измерить неизвестную эквивалентную длительность  $\theta_0$ , принимающую значения из апри-

орного интервала  $[\theta_{\min}; \theta_{\max}]$ . Следуя [6], полагаем, что в канале синхронизации вырабатывается оценка  $\hat{\tau}$  неизвестного времени прихода сигнала  $\tau_0$ . Эта оценка используется для формирования опорного сигнала максимально правдоподобного измерителя длительности. Следовательно, оценка  $\theta_m$  неизвестной длительности  $\theta_0$  импульса определяется по положению абсолютного максимума функции

$$M(\theta) = \ln I_0[R(\theta)] - Q(\theta)/2, \quad (4)$$

$$\text{где } Q(\theta) = \frac{a^2}{N_0} \int_{-T/2}^{T/2} f^2[(t - \hat{\tau})/\theta] dt, \quad R(\theta) = \left| \frac{2a}{N_0} \int_{-T/2}^{T/2} x(t) f[(t - \hat{\tau})/\theta] e^{j\omega_0 t} dt \right|, \quad (5)$$

а  $I_0(\cdot)$  — функция Бесселя мнимого аргумента, нулевого порядка. Таким образом, рассматриваемый измеритель отличается от оптимального [4, 5] лишь тем, что его опорный сигнал сформирован с ошибкой  $|\hat{\tau} - \tau_0|$  по времени прихода полезного сигнала.

Положим далее, что выполнено условие

$$T \gg \theta_{\max}, \quad (6)$$

а истинное значение длительности  $\theta_0$  лежит строго внутри априорного интервала  $[\theta_{\min}; \theta_{\max}]$ . Отметим, что из (2), (5), (6) следует равенство  $Q(\theta) \simeq a^2 \theta / N_0$ . Подставляя в (5) принятую реализацию (1), получаем, что

$$R(\theta) = z^2 \{G^2(\theta_0, \theta) + 2z^{-1}G(\theta_0, \theta)N_1(\theta) + z^{-2}N_2(\theta)\}^{1/2}, \quad (7)$$

где  $z^2 = a^2 \theta_0 / N_0$  — отношение сигнал/шум для принятого сигнала, а сигнальная функция  $G(\theta_0, \theta)$  с учетом (6) имеет вид

$$G(\theta_0, \theta) = \frac{1}{\theta_0} \int_{-\infty}^{\infty} f[(t - \tau_0)/\theta_0] f[(t - \hat{\tau})/\theta] dt. \quad (8)$$

Нормированные шумовые функции  $N_1(\theta)$ ,  $N_2(\theta)$  в формуле (7) можно записать как

$$\begin{aligned} N_1(\theta) &= 2 \int_{-\infty}^{\infty} n(t) f[(t - \hat{\tau})/\theta] \cos(\omega_0 t - \varphi_0) dt / \sqrt{N_0 \theta_0}; \\ N_2(\theta) &= \left| 2 \int_{-\infty}^{\infty} n(t) f[(t - \hat{\tau})/\theta] e^{j\omega_0 t} dt / \sqrt{N_0 \theta_0} \right|^2. \end{aligned} \quad (9)$$

Шумовая функция (9) является реализацией гауссского центрированного случайного процесса с корреляционной функцией

$$G_N(\theta_1, \theta_2) = \langle N_1(\theta_1) N_1(\theta_2) \rangle = \frac{1}{\theta_0} \int_{-\infty}^{\infty} f(t/\theta_1) f(t/\theta_2) dt. \quad (10)$$

При достаточно больших значениях отношения сигнал/шум в окрестности  $\theta_0$  справедливо представление выходного сигнала измерителя (4) формулой [4]

$$M(\theta) \simeq z^2 S(\theta) + z N_1(\theta). \quad (11)$$

В выражении (11) опущены слагаемые, независящие от параметра  $\theta$ .

Переходя к нормированному выходному сигналу  $m(\theta) = M(\theta)/z$ , имеем

$$m(\theta) \simeq zS(\theta) + N_1(\theta), \quad (12)$$

где с учетом (8)

$$S(\theta) = G(\theta_0, \theta) - \frac{\theta}{2\theta_0} = \frac{1}{\theta_0} \int_{-\infty}^{\infty} f[(t - \tau_0)/\theta_0] f[(t - \hat{\tau})/\theta] dt - \frac{\theta}{2\theta_0}. \quad (13)$$

Предположим теперь, что огибающая полезного сигнала  $f(t)$  дифференцируема не менее двух раз. Тогда, в соответствии с [4], смещение и дисперсия оценки длительности сигнала с неточно известным временем положением имеют вид

$$\begin{aligned} b(\theta_m | \theta_0, \tau_0, \varphi_0) &= \hat{\theta} - \theta_0, \\ D(\theta_m | \theta_0, \tau_0, \varphi_0) &= \frac{1}{z^2} \left\{ \frac{\partial^2 G_N(\theta_1, \theta_2)}{\partial \theta_1 \partial \theta_2} / \left[ \frac{d^2 S(\theta)}{d \theta^2} \right]^2 \right\}_{\hat{\theta}}, \end{aligned} \quad (14)$$

где  $\hat{\theta}$  — положение абсолютного максимума функции (13). Выполняя в (14) дифференцирование с учетом (10), (13), получаем выражение для дисперсии оценки

$$\begin{aligned} D(\theta_m | \theta_0, \tau_0, \varphi_0) &= \frac{\theta_0^2(1+\vartheta)}{z^2} \left\{ \int_{-\infty}^{\infty} [xf'(x)]^2 dx \right\} \left\{ \int_{-\infty}^{\infty} x^2 f[x(1+\vartheta) - \right. \\ &\quad \left. - \varepsilon] f''(x) dx - 1 \right\}^{-2}. \end{aligned} \quad (15)$$

Здесь использованы обозначения  $\vartheta = (\hat{\theta} - \theta_0)/\theta_0 = b/\theta_0$ ,  $\varepsilon = (\tau_0 - \hat{\tau})/\theta_0$  — относительная погрешность синхронизации. Полагая в (15)  $\varepsilon \rightarrow 0$ , так что  $\vartheta = \vartheta(\varepsilon) \rightarrow 0$ , получаем выражение для дисперсии оценки длительности при идеальной синхронизации

$$D_0(\theta_m | \theta_0, \varphi_0) = \frac{\theta_0^2}{z^2} \left\{ \int_{-\infty}^{\infty} [xf'(x)]^2 dx \right\}^{-1}, \quad (16)$$

а смещение оценки при этом равно нулю. Согласно (14), (15), (16), относительный проигрыш в величине рассеяния (среднего квадрата ошибки) оценки длительности дифференцируемого сигнала за счет погрешности синхронизации имеет вид

$$\begin{aligned} \rho &= V(\theta_m | \theta_0, \tau_0, \varphi_0) / D_0(\theta_m | \theta_0, \varphi_0) = (1+\vartheta) \left\{ \int_{-\infty}^{\infty} [xf'(x)]^2 dx \right\}^2 \times \\ &\quad \times \left\{ \int_{-\infty}^{\infty} x^2 f[x(1+\vartheta) - \varepsilon] f''(x) dx - 1 \right\}^{-2} + \vartheta^2 z^2 \int_{-\infty}^{\infty} [xf'(x)]^2 dx, \end{aligned} \quad (17)$$

где  $V(\theta_m | \theta_0, \tau_0, \varphi_0) = D(\theta_m | \theta_0, \tau_0, \varphi_0) + b^2(\theta_m | \theta_0, \tau_0, \varphi_0)$ .

Полученные формулы определяют условные (при заданном  $\varepsilon$ ) характеристики оценки длительности. Если известна плотность вероятности ошибки синхронизации  $W(\varepsilon)$ , то необходимо (15) усреднить по  $\varepsilon$  [6].

Однако это усреднение для большинства плотностей вероятности  $W(\varepsilon)$  можно выполнить лишь численными методами. Поэтому, не конкретизируя структуру канала синхронизации, рассмотрим далее лишь условные характеристики оценки длительности.

В качестве примера дифференцируемого сигнала рассмотрим радиоимпульс с колокольной огибающей  $f(x) = \exp(-x^2\pi/2)$ . Тогда, в соответствии с (17), имеем

$$\rho(\varepsilon) = \frac{9}{16} (1 + \vartheta) \left\{ \exp \left[ -\frac{\varepsilon^2 \pi}{2(2 + 2\vartheta + \vartheta^2)} \right] \sqrt{\frac{2}{(2 + 2\vartheta + \vartheta^2)^3}} \times \right. \\ \left. \times \left[ \frac{\pi^2 \varepsilon^4 (1 + \vartheta)^4}{(2 + 2\vartheta + \vartheta^2)^3} + \frac{6\pi \varepsilon^2 (1 + \vartheta)^2}{(2 + 2\vartheta + \vartheta^2)^2} + \frac{3 - \pi \varepsilon^2 (1 + \vartheta)^2}{2 + 2\vartheta + \vartheta^2} - 1 \right] - 1 \right\}^{-2} + \frac{3}{4} \vartheta^2 z^2, \quad (18)$$

где  $\vartheta = \vartheta(\varepsilon)$  — положение абсолютного максимума функции

$$S(y) = (1 + y) \left\{ \sqrt{\frac{2}{2 + 2y + y^2}} \exp \left[ -\frac{\varepsilon^2 \pi}{2(2 + 2y + y^2)} \right] - 1/2 \right\}.$$

Зависимость  $\rho(\varepsilon)$  изображена на рис. 1 сплошными кривыми для нескольких значений отношения сигнал/шум. На том же рисунке штрихпунктирной кривой изображена зависимость  $\rho_0(\varepsilon) = D(\theta_m | \theta_0, t_0, \varphi_0) \times D_0^{-1}(\theta_m | \theta_0, \varphi_0)$ . Из рассмотрения приведенных кривых следует, что проигрыш в величине рассеяния за счет неточности синхронизации возрастает с увеличением отношения сигнал/шум  $z$  и модуля относительной погрешности синхронизации  $|\varepsilon|$ . Кроме того, при  $|\varepsilon| \leq 0,1 \div 0,2$  рассмотренный измеритель длительности радиосигнала с колокольной огибающей практически не чувствителен к погрешности тактовой синхронизации. Значительное ухудшение точности оценки длительности наблюдается лишь при  $|\varepsilon| \geq 0,35 \div 0,4$ .

Выражения (15)  $\div$  (17) для характеристик оценки длительности неприменимы, если огибающая полезного сигнала недифференцируема. В качестве простейшего и часто используемого [5—7] примера таких сигналов рассмотрим радиоимпульс с прямоугольной огибающей

$$f(t) = \begin{cases} 1, & |t| \leq 1/2, \\ 0, & |t| > 1/2. \end{cases}$$

В этом случае выражение для нормированной сигнальной составляющей  $S(\theta)$  выходного сигнала (11) принимает вид

$$S(\theta) = \begin{cases} \theta/2\theta_0, & \theta < \theta_0(1 - 2|\varepsilon|), \\ 1/2 - |\varepsilon|, & \theta_0(1 - 2|\varepsilon|) < \theta < \theta_0(1 + 2|\varepsilon|), \\ 1 - \theta/2\theta_0, & \theta > \theta_0(1 + 2|\varepsilon|), \end{cases} \quad (19)$$

при  $|\varepsilon| \leq 1/2$ , и

$$S(\theta) = \begin{cases} -\theta/2\theta_0, & \theta < \theta_0(2|\varepsilon| - 1), \\ 1/2 - |\varepsilon|, & \theta_0(2|\varepsilon| - 1) < \theta < \theta_0(2|\varepsilon| + 1), \\ 1 - \theta/2\theta_0, & \theta > \theta_0(2|\varepsilon| + 1), \end{cases} \quad (20)$$

при  $|\varepsilon| > 1/2$ . Из формулы (20) следует, что при  $|\varepsilon| > 1/2$ ,  $S(\theta) < 0$ , так что нормальная работа приемного устройства невозможна. Поэтому в дальнейшем будем считать выполненным условие  $|\varepsilon| \leq 1/2$ . Тогда,

в соответствии с (19), функция  $S(\theta)$  принимает максимальное значение  $\max_{\theta} S(\theta) = 1/2 - |\varepsilon| \geq 0$  на интервале  $(\theta_0(1-2|\varepsilon|); \theta_0(1+2|\varepsilon|))$ . Поэтому асимптотическое представление выходного сигнала (11) остается справедливым в окрестности интервала  $(\theta_0(1-2|\varepsilon|); \theta_0(1+2|\varepsilon|))$ . В соответствии с (10),

$$G_N(\theta_1, \theta_2) = \min(\theta_1, \theta_2)/\theta_0, \quad (21)$$

так что шумовая функция  $N_1(\theta)$  является реализацией винеровского процесса с коэффициентом диффузии, равным  $1/\theta_0$ . Как и выше, будем счи-

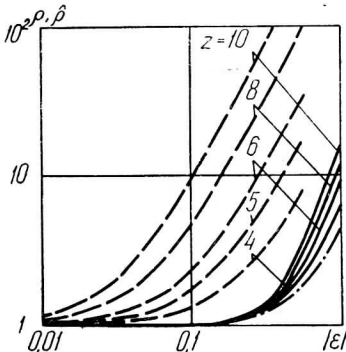


Рис. 1.

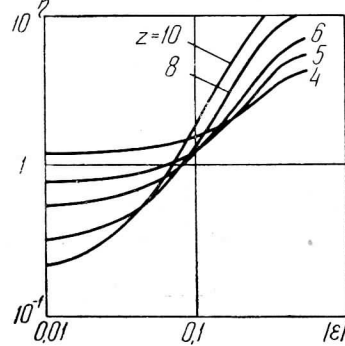


Рис. 2.

тать, что  $\theta_0 \in (\theta_{\min}; \theta_{\max})$  и ограничимся рассмотрением случая  $\theta_0 \in (\theta_{\min} + 2\theta_0|\varepsilon|; \theta_{\max} - 2\theta_0|\varepsilon|)$ .

Для определения характеристик оценки длительности введем в рассмотрение разностный случайный процесс

$$\mu(\theta) = m(\theta) - m(H), \quad \theta, H \in [\theta_{\min}; \theta_{\max}]. \quad (22)$$

Положение абсолютного максимума функции (22) совпадает с оценкой  $\theta_m$  неизвестной длительности  $\theta_0$ . Следовательно, распределение оценки запишется так:

$$F_m(H) = P[\theta_m < H] = P[\max_{[\theta_{\min}; H]} \mu(\theta) > \max_{[H; \theta_{\max}]} \mu(\theta)].$$

Распределение оценки можно выразить через двумерную функцию распределения абсолютных максимумов процесса  $\mu(\theta)$ :

$$P(u, v, H) = P[\max_{[\theta_{\min}; H]} \mu(\theta) < u, \max_{[H; \theta_{\max}]} \mu(\theta) < v].$$

Функция корреляции разностного процесса (22), в соответствии с (21), равна

$$K_{\mu}(\theta_1, \theta_2) = \min(|H - \theta_1|, |H - \theta_2|)/\theta_0, \quad (23)$$

когда  $(H - \theta_1)(H - \theta_2) \geq 0$  и  $K_{\mu}(\theta_1, \theta_2) = 0$ , когда  $(H - \theta_1)(H - \theta_2) \leq 0$ . Поэтому отрезки реализаций процесса  $\mu(\theta)$  на интервалах  $[\theta_{\min}; H]$  и  $[H; \theta_{\max}]$  независимы. Значит

$$P(u, v, H) = P[\max_{[\theta_{\min}; H]} \mu(\theta) < u] P[\max_{[H; \theta_{\max}]} \mu(\theta) < v] = P_{1H}(u) P_{2H}(v),$$

а распределение оценки равно [7]

$$F_m(H) = \int_0^{\infty} P_{2H}(u) dP_{1H}(u). \quad (24)$$

Обозначим  $y(\theta) = u - \mu(\theta)$ ,  $\theta_{\min} \leq \theta < H$  и  $x(\theta) = v - \mu(\theta)$ ,  $H \leq \theta \leq \theta_{\max}$ . Тогда  $P_{1H}(u) = P[y(\theta) > 0]$ ,  $P_{2H}(v) = P[x(\theta) > 0]$ . Воспользовавшись формулировкой теоремы Дуба [8], приведенной в [9], получаем, что функции  $x(\theta)$  и  $y(\theta)$  являются, в соответствии с (23), реализациями марковского гауссовского процесса. Из (19) и (23) находим коэффициенты сноса и диффузии этого процесса

$$K_1(\theta) = z \begin{cases} -1/2\theta_0, & \theta < \theta_0(1 - 2|\varepsilon|), \\ 0, & \theta_0(1 - 2|\varepsilon|) < \theta < \theta_0(1 + 2(|\varepsilon|)), \\ 1/2\theta_0, & \theta > \theta_0(1 + 2|\varepsilon|), \end{cases} \quad K_2 = 1/\theta_0. \quad (25)$$

Следовательно, например, для  $P_{2H}(v)$  можем записать:

$$P_{2H}(v) = \int_0^\infty W_H(x, \theta_{\max}) dx, \quad (26)$$

где  $W_H(x, \theta_{\max}) = W_H(x, \theta)|_{\theta=\theta_{\max}}$ , а  $W_H(x, \theta)$  — решение уравнения Фоккера — Планка — Колмогорова [8]

$$\frac{\partial}{\partial \theta} W_H(x, \theta) + \frac{\partial}{\partial x} [K_1(\theta) W_H(x, \theta)] - \frac{1}{2} \frac{\partial^2}{\partial x^2} [K_2 W_H(x, \theta)] = 0 \quad (27)$$

с коэффициентами (25) в области  $x > 0$ ,  $H < \theta \leq \theta_{\max}$  при начальном и граничных условиях  $W_H(x, \theta)|_{\theta=H} = \delta(x - v)$ ,  $W_H(x, \theta)|_{x=0} = W_H(x, \theta)|_{x=\infty} = 0$ . Решение краевой задачи (27) ищется методом отражения с переменой знака [8] подобно тому, как это сделано в [5, 7]. После подстановки  $W_H(x, \theta_{\max})$  в (26), получаем распределение  $P_{2H}(v)$ . Аналогично определяется распределение  $P_{1H}(u)$ . Подставляя далее найденные распределения  $P_{1H}(u)$ ,  $P_{2H}(v)$  в (24), получаем распределение  $F_m(H)$  оценки длительности  $\theta_m$ . Используя полученное таким образом распределение  $F_m(H)$ , находим приближенные выражения для смещения и дисперсии оценки длительности прямоугольного радиоимпульса с учетом погрешности синхронизации:

$$\hat{b}(\theta_m | \theta_0, \tau_0, \varphi_0) \simeq 0, \quad (28)$$

$$\begin{aligned} \hat{D}(\theta_m | \theta_0, \tau_0, \varphi_0) \simeq 2\theta_0^2 & \left\{ \varepsilon^2 + 8 \exp(2z^2 |\varepsilon|) [1 - \Phi(2z |\varepsilon|^{1/2})] \times \right. \\ & \times \left[ -\frac{8}{3} z^2 |\varepsilon|^3 + 8\varepsilon^2 - \frac{13}{2} z^{-2} |\varepsilon| + \frac{13}{4} z^{-4} \right] + \\ & + \left. \frac{8}{\sqrt{2\pi}} \left[ \frac{4}{3} z |\varepsilon|^{5/2} - \frac{13}{3} z^{-1} |\varepsilon|^{3/2} + \frac{13}{2} z^{-3} |\varepsilon|^{1/2} \right] \right\}, \end{aligned}$$

где  $\Phi(\cdot)$  — интеграл вероятности [4]. Точность формул (28) растет с увеличением отношения сигнал/шум  $z$ . Полагая в (28)  $\varepsilon \rightarrow 0$ , получаем выражение для смещения и дисперсии оценки длительности при идеальной синхронизации [5]

$$\hat{b}_0(\theta_m | \theta_0, \varphi_0) \simeq 0, \quad \hat{D}_0(\theta_m | \theta_0, \varphi_0) \simeq 26\theta_0^2/z^4. \quad (29)$$

Согласно (28), (29) относительный проигрыш в величине рассеяния оценки длительности прямоугольного радиоимпульса за счет погрешности синхронизации имеет вид

$$\hat{\rho}(\varepsilon) = \hat{D}(\theta_m | \theta_0, \tau_0, \varphi_0) / \hat{D}_0(\theta_m | \theta_0, \varphi_0) = \frac{\varepsilon^2 z^4}{13} + \frac{8}{13} \left\{ \exp(2z^2 |\varepsilon|) [1 - \right.$$

$$\begin{aligned}
 & -\Phi(2z|\varepsilon|^{1/2}) \left[ -\frac{8}{3} z^6 |\varepsilon|^3 + 8z^4\varepsilon^2 - \frac{13}{2} z^2 |\varepsilon| + \frac{13}{4} \right] + \\
 & + \frac{1}{\sqrt{2\pi}} \left[ \frac{4}{3} z^5 |\varepsilon|^{5/2} - \frac{13}{3} z^3 |\varepsilon|^{3/2} + \frac{13}{2} z |\varepsilon|^{1/2} \right]. \quad (30)
 \end{aligned}$$

Зависимость  $\hat{\rho}(\varepsilon)$  (30) изображена на рис. 1 штриховыми кривыми для нескольких значений отношения сигнала/шум. Отметим, что рассеяние оценки длительности прямоугольного радиоимпульса растет с увеличением погрешности синхронизации  $|\varepsilon|$  значительно быстрее, чем при приеме радиоимпульса с дифференцируемой огибающей.

На рис. 2 приведена зависимость  $\eta(\varepsilon) = \hat{D}(\theta_m|\theta_0, \tau_0, \phi_0) \times V^{-1}(\theta_m|\theta_0, \tau_0, \phi_0)$ , построенная с учетом (14), (15), (28) для нескольких значений отношения сигнала/шум. Кривые рис. 2 позволяют выбрать оптимальную форму полезного сигнала в зависимости от величины отношения сигнала/шум и достижимой точности тактовой синхронизации. В частности, при  $z=5 \div 10$  и относительной погрешности синхронизации  $|\varepsilon| \leq 0,06 \div 0,08$  предпочтительней использование сигналов с прямоугольной огибающей. Напротив, при  $z=5 \div 10$  и  $|\varepsilon| \geq 0,06 \div 0,08$  применение сигналов с дифференцируемой (колокольной) огибающей приводит к меньшим значениям среднеквадратичной ошибки измерения длительности. С другой стороны, при  $z \leq 4 \div 4,5$ ,  $\eta(\varepsilon) > 1$  при любых значениях относительной погрешности  $|\varepsilon|$ , т. е. применение сигналов с прямоугольной огибающей нецелесообразно. Таким образом, требования к точности синхронизации для сигналов с прямоугольной огибающей в целом значительно выше, чем для сигналов с дифференцируемой огибающей. Аналогичный вывод получен в [6] применительно к обнаружению сигналов.

## ЛИТЕРАТУРА

- Марков В. В. Малоканальные радиорелейные линии связи. М., «Советское радио», 1963.
- Куликов С. В., Чистяков Б. В. Дискретные преобразователи сигналов на транзисторах. М., «Энергия», 1972.
- Маланов В. В. О применении и принципах осуществления двухтактной широтно-импульсной модуляции второго рода.—«Радиотехника», 1967, 22, № 12, с. 13—17.
- Куликов Е. И., Трифонов А. П. Оценка параметров сигналов на фоне помех. М., «Советское радио», 1978.
- Трифонов А. П. Прием сигнала с неизвестной длительностью на фоне белого шума.—«Радиотехника и электроника», 1977, 22, № 1, с. 90—98.
- Горяинов В. Т. Требования к точности тактовой синхронизации в системах передачи двоичной информации.—«Изв. вузов — Радиоэлектроника», 1970, 13, № 7, с. 787—798.
- Терентьев А. С. Распределение вероятности временного положения абсолютного максимума на выходе согласованного фильтра.—«Радиотехника и электроника», 1968, 13, № 4, с. 652—657.
- Тихонов В. И., Миронов М. А. Марковские процессы. М., «Советское радио», 1977.
- Kailath T. Some integral equations with nonrational kernels.—IEEE Trans., 1966, IT-12, N 4, p. 442—447.

Поступила в редакцию  
15 VI 1979 г.

С.М. Такиев, Р.Г. Карпов, Н.Г. Карпов, Преб-  
разование и математическая обработка  
широкоимпульсных сигналов' М.  
машиностроение, 1977, 166 с.